

روش تحلیل کمی فازها بدون ماده مرجع با پراش پرتوی ایکس

احمد منشی*

دانشکده مهندسی مواد، دانشگاه صنعتی اصفهان

(دریافت مقاله: ۱۲/۲۵ - ۱۳۷۴ - دریافت نسخهنهای: ۷/۲۵ - ۱۳۷۵)

چکیده - روش جدیدی که حاصل طرح پژوهشی مصوب دانشگاه صنعتی اصفهان است این امکان را به وجود می‌آورد تا تحلیل کمی کانی‌ها و سایر مواد پودر شونده به وسیله پراش پرتوی ایکس و با انجام محاسبات ریاضی انجام گیرد بدون آنکه یک ماده با خلوص معین به عنوان مرجع به کار رود. اصول روش برای به دست آوردن n فاز مجھول داشتن n ماده با تغییر در ترکیبات است. این n ماده را می‌توان از دانه بندی‌های ریز و درشت مثلاً یک کانی ناشناخته نیز به دست آورد. شرط اصلی این است که هیچ فاز غیر بلوری و آمورف در نمونه‌ها نداشته باشیم. سپس نسبت شدت پراش قله‌های انتخاب شده از فازها به قله مناسبی از فاز k که برای حذف ضریب جذب در اندازه گیریها اضافه می‌شود، در مقابل نسبت وزنی نمونه‌های ناشناخته به ماده S ترسیم می‌شود. بهترین شبیه از خطوط حاصل شده که از مبدأ می‌گذرند، به دست می‌آید. n معادله n مجھولی حاصل می‌شود که حل آنها ضرایب را به دست می‌دهد و تحلیل را امکان‌پذیر می‌سازد. اگر برای تعدادی از فازها نمونه مرجع داشته باشیم، n کاهش می‌یابد. پس از تشریح نظریه روش، یک مثال عملی در مورد به دست آوردن فازهای CaO , MgO , $\text{Ca}(\text{OH})_2$ در سه نمونه مواد نسوز مخلوط منیزیت و دولومیت نیمه هیدراته شده با استفاده از CaF_2 به عنوان فاز عامل حذف ضریب جذب مورد بررسی قرار می‌گیرد.

Method of Quantitative Phase Analysis by XRD Without Reference Material

A. Monshi

Department of Materials Engineering, Isfahan University of Technology

ABSTRACT- This new method which is worked out in Isfahan University of Technology, makes it possible to analyze the phases quantitatively in minerals and powdered materials by X Ray Diffraction and without any reference material. To identify n unknown phases, n different combinations of phases, from fine and coarse fractions, or etc., must be obtained. Amorphous phases should not exist. Intensity ratios of selected peaks of

* استادیار

فهرست علائم					
زیر پرتوی \bar{J}		ثابتی که به قله e فاز i و قله s و	K_{hs}	ثابتی که به قله e فاز i و قله h	C_{eihs}
وزن کل دو ماده (مخلوط A)	W_{tj}	خصوصیات دستگاه و وزن		فاز s و خصوصیات	
(s) در نمونه \bar{J}		مخصوص فاز s بستگی دارد		دستگاه بستگی دارد و از	
کسر وزنی فاز i در ماده A	X_{iA}	شیب راستخطی که از	$Meihs$	تقسیم Kei بر K_{hs} حاصل	
تحلیل A		مجموعه قلهای e و h		می شود	
کسر وزنی فاز i در نمونه زیر پرتوی \bar{J}	X_{ij}	فازهای به ترتیب i و s به		مخف شده C_{eihs} برای فاز	C_n
		دست آمد است.		($n=1,2,3,000$)	
کسر وزنی فاز i در ماده R	X_{iR}	مخف شده $Meihs$ برای	M_{nA}	شدت پرتوی ایکس پراش	I_{eij}
مرجع		تحلیل فاز n در ماده		یافته از قله e فاز i نمونه زیر	
کسر وزنی فاز n در ماده (n=1,2,...)A	X_{nA}	($n=1,2,3,...A$)		پرتوی \bar{J}	
		وزن ماده تحت تحلیل A در	W_{Aj}	شدت پرتوی ایکس پراش	I_{hsj}
کسر وزنی فاز s در نمونه زیر پرتوی \bar{J}	X_{sj}	نمونه زیر پرتوی \bar{J}		یافته از قله h فاز s نمونه زیر	
		وزن فاز i در نمونه زیر	W_{ij}	پرتوی \bar{J}	
وزن مخصوص فاز i در تمونه های زیر پرتو	ρ_i	پرتوی \bar{J}		ثابتی که به قله e و فاز i و	K'_{ei}
				خصوصیات دستگاه بستگی دارد	
ضریب جذب جرمی نمونه μ_j^*		وزن ماده مرجع R در نمونه زیر پرتوی \bar{J}	W_{Rj}	ثابتی که به قله e و فاز i و	Kei
ضریب جذب s در نمونه		وزن فاز عامل حذف	W_{sj}	خصوصیات دستگاه و وزن	
		ضریب جذب s در نمونه		مخصوص فاز i بستگی دارد	

different phases to the suitable peak of added substance s is plotted against the weight ratio of unknown material to substance s. The phase s is used to eliminate the effect of absorption in measurements. After detecting the slopes of linear plots which pass through the origin, n equations are obtained which are solved for n unknown coefficients. The quantitative phase analysis is subsequently performed in all n samples. If reference materials are available for some phases, n is reduced. The method is applied to analyze three phases MgO , CaO , $Ca(OH)_2$ with substance CaF_2 , in magnesite - dolomite, partially hydrated refractories.

کنند. مثلاً حضور سیلیسیم را مشخص کنند حال آنکه این عنصر عضوی از دهها فاز طبیعی (کوارتز، کائولینیت، تالک، ...) و فازهای ساخته شده مصنوعی (کاربید سیلیسیم، نیترید سیلیسیم، ...) است. بعد از کشف اشعه ایکس به وسیله ویلیام رونتگن در سال ۱۲۷۴ شمسی (۱۸۹۵ میلادی) حدود نیم قرن طول کشید تا اولین روش تحلیل کمی فازها با پراش پرتوی ایکس، به نام روش استاندارد داخلی، در سال ۱۳۲۷ (۱۹۴۸) توسط لروی آلکساندر و

پراش پرتوی ایکس تنها وسیله ای است که می تواند فازهای موجود در یک ماده را شناسایی کند و سایر روشهای تحلیل نظری فلورسانس پرتوی ایکس (براساس انرژی یا طول موج)، میکروپروب و تحلیل نقطه ای با میکروسکوپ الکترونی، کوانتمتر، طیف سنجی، جذب اتمی، شیمی تجزیه وغیره تنها قادرند اطلاعات کیفی و کمی در مورد عناصر سازنده مواد ارائه

در این فرمول K_{ei} ثابتی است که بستگی به طبیعت فاز ϵ ، خصوصیات قله انتخاب شده ϵ و شکل هندسی و مشخصات الکترونیکی دستگاه پرتوی ایکس از جمله شدت پرتوی اولیه I_0 دارد. ϵ چگالی فاز ϵ در نمونه است و چنانچه در همه نمونه سازیها تراکم فاز ϵ را یکسان فرض کنیم با ثابت K_{ei} آمیخته شده و به صورت مدون X_{sj} در خواهد آمد. $X_{sj} = K_{ei} \epsilon$ کسر وزنی فاز ϵ در نمونه زیر پرتو (درصد نسبت به یک) و μ_j^* ضریب جذب جرمی نمونه j است. برای حذف عامل ضریب جذب جرمی که اندازه گیری آن مشکل است، فاز ϵ را که در نمونه مورد آزمایش وجود ندارد به مقدار مشخص و دلخواه به نمونه اضافه می کنیم، مثلاً به W_{Aj} گرم از W_{Aj} نسبت $\frac{W_{Aj}}{W_{sj}}$ را دقیقاً یادداشت می کنیم. بهتر است فاز ϵ ساختمان کریستالی متقارن داشته و دارای قله های فازی محدود اما شاخص باشد تا با دیگر قله های نمونه تداخل زیادی ایجاد نکند. فازهایی نظیر LiF و CaF_2 و پودر Mo و پودر Si مناسب این کار هستند. اگر X_{sj} نسبت وزنی فاز ϵ در نمونه j باشد.

$$X_{sj} = \frac{W_{sj}}{W_{Aj} + W_{sj}} = \frac{W_{sj}}{W_{tj}} \quad (2)$$

W_{tj} وزن کل نمونه j است.

$$I_{hsj} = K_{hs} \frac{X_{sj}}{\mu_j^*} \quad (3)$$

شدت پرتوی پراشیده از مجموعه صفحات h در فاز ϵ در نمونه j و K_{hs} ثابت مربوط به فاز و وزن مخصوص آن و قله انتخاب شده از فاز و دستگاه دیفاراکتومتری است. لازم است ذرات پودر به اندازه کافی ریز، کاملاً همگن و عاری از جهت ترجیحی باشند و برای به بیشینه رساندن شدت پرتو در پراش بازتابی و یا عبوری از ضخامت مناسب برخوردار باشند.

با تقسیم معادله (1) بر (3) عامل ضریب جذب جرمی حذف

$$\frac{I_{eij}}{I_{hsj}} = \frac{K_{ei}}{K_{hs}} \frac{X_{ij}}{X_{sj}} \quad (4)$$

اگر وزن فاز مورد تحلیل ϵ را در نمونه مورد آزمایش W_{ij} بنامیم،

هارولدکلاگ [1] تدوین شود و مورد مصرف گسترده ای در مجتمع و مراجع علمی پیدا کند [2 تا 4] به طوری که عین مقاله مجدداً در سال ۱۳۶۸ (۱۹۸۹) یکبار دیگر به چاپ رسید [5]. در این روش یک ماده با خلوص معلوم از فاز مورد نظر (ماده مرجع) را به نسبتها مختلف با ماده رقیق کننده ای که یا آمورف باشد یا قله های فاز آن (پیک ها) با قله های مورد مطالعه ایجاد تداخل نکند مخلوط می کنند. سپس مخلوط را با نسبت ثابتی با یک فاز عامل حذف ضریب جذب که در نمونه نباشد و قله های فاز آن نیز ایجاد تداخل نکند آمیخته می سازند. پس از آزمایش پراش پرتوی ایکس نسبت شدت قله های پرتوی مورد مطالعه از فاز مورد نظر و فاز عامل حذف جذب اندازه گیری شده و در مقابل درصد فاز، منحنی یا خط همسنجی ترسیم می شود. سپس ماده مورد آزمایش با همان نسبت ثابت آمیخته شده و مقدار فاز از روی منحنی همسنجی خوانده می شود.

روش نسبت شیبها با تغییراتی در ریاضیات و نحوه عملکرد در سال ۱۳۷۰ (۱۹۹۱) توسط احمد منشی و پیتر فرانسیس مسرازای شد [6]. در این روش دیگر به ماده رقیق کننده تیازی نیست و ثابت نگه داشتن نسبت فاز عامل حذف ضریب جذب در مخلوطها ضروری نیست. تحلیل با استفاده از شبیه راستخطی که با روش کمترین مربعات خط از مبدأ رسم می شود صورت می گیرد که از خواندن روی منحنی همسنجی دقیقتر است [7].

پیش از این مقایسه خلوص کانیها با این روش بدون اطلاع از مقدار آنها انجام شده است [8]. هدف از روش جدیدی که در این مقاله مطرح می شود ارائه امکان تحلیل کمی فازها بدون در دست داشتن ماده مرجع است.

۴- نظریه روش نسبت شیبها

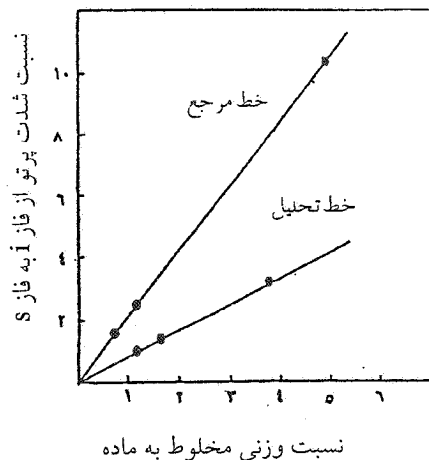
اگر I_{eij} را مساحت زیر قله فاز (پیک) پراش یافته از مجموعه صفحات ϵ از فاز ϵ در نمونه پرتوی ایکس دیده Z بنامیم.

$$I_{eij} = \frac{K'_{ei}}{\rho_i} \frac{X_{ij}}{\mu_j^*} = K_{ei} \frac{X_{ij}}{\mu_j^*} \quad (1)$$

معادله (۴) را به صورت زیر نیز می‌توان نوشت:

$$\frac{I_{eij}}{I_{hsj}} = \frac{K_{ei}}{K_{hs}} \frac{W_{ij}}{W_{sj}} \quad (5)$$

نکته کلیدی در روش نسبت شیبها این است که به جای وزن آدر نمونه یعنی W_{ij} ، حاصلضرب وزن مخلوط مورد تحلیل، W_{Aj} ، در کسر وزنی فاز آ در این مخلوط ' X_{iA} ' را قرار دهیم



شکل ۱- ترسیم خطوط مرجع و تحلیل در روش نسبت شیبها برای تحلیل CaCO_3 (اقتباس از مرجع [۷])

آن صورت $1 = X_{iR} =$ خواهد بود و یا پودر حاصل از کلوخه‌ای معدنی یا صنعتی با مقدار شناخته شده فاز آ برابر X_{iR} باشد. مجھول X_{iA} از طریق حاصلضرب X_{iR} در نسبت شیبها دو خط تحلیل و مرجع به دست می‌آید

$$X_{iA} = \frac{\text{شیب خط تحلیل}}{\text{شیب خط مرجع}} \quad (6)$$

شکل (۱) ترسیم دو خط مرجع و تحلیل را با دو شیب مختلف نشان می‌دهد [۷]. خط مرجع مربوط به کربنات کلسیم خالص و خط تحلیل مربوط به نمونه‌ای مصنوعی است که ۴۰٪ کربنات کلسیم دارد و حاصل تقسیم شیب خط تحلیل به مرجع، مطابق رابطه (۶)، تحلیل ۷/۳۹٪ را به دست داد که گویای خطایی کمتر از ۱٪ نسبت به مقدار موجود است (۷/۵٪ درصد یا ۰/۰۷۵٪ مقدار ۴۰٪).

۳- روش تحلیل کمی فازها بدون ماده مرجع
شیب راستخطی را که برای دو فاز آ و s در روش نسبت شیبها به دست می‌آوریم از حاصلضرب یک ثابت (K_{ei}/K_{hs}) و کسر وزنی فاز آ در نمونه (درصد فاز آ نسبت به عدد یک) تشکیل شده است.

$$M_{eih} = \frac{K_{ei}}{K_{hs}} X_{iA} = C_{eih} \cdot X_{iA} \quad (10)$$

در اینجا M_{eih} شیب خط در رابطه با قله های فازی e و h از

با توجه به اینکه X_{iA} مقدار ثابتی است که ما در جستجوی تحلیل و دستیابی به آن هستیم، می‌توان با تلفیق معادله‌های (۵) و (۶)، معادله راستخطی را به دست آورد که بدون نیاز به ثابت نگه داشتن مقدار فاز آ از مبدأ مختصات نیز بگذرد.

$$\frac{I_{eij}}{I_{hsj}} = \left(\frac{K_{ei}}{K_{hs}} X_{iA} \right) \frac{W_{Aj}}{W_{sj}} \quad (7)$$

در این صورت اگر نسبت شدت پرتوی ایکس از قله e فاز آ در نمونه s را به قله h فاز s در همان نمونه به دست آوریم ($\frac{I_{eij}}{I_{hsj}}$) و در مقابل نسبت وزن مخلوط مورد تحلیل به وزن ماده s در آن نمونه که به مقدار دلخواه و مناسب تهیه شده است ($\frac{W_{Aj}}{W_{sj}}$) ترسیم کنیم، مقدار درون پرانتز در معادله (۷) شیب این خط خواهد بود که مقدار مجھول X_{iA} را نیز در خود دارد.

اکنون برای یافتن مقدار مجھول X_{iA} لازم است عین همین نمونه سازی را با ماده مرجع R که کسر وزنی مشخص R از فاز آ را در خود دارد انجام دهیم. برای مخلوط‌های مناسب تهیه شده از وزنهای مختلف j از ماده مرجع و وزنهای دلخواه W_{sj} و ترسیم نهایی راستخط مرجع می‌توان نوشت:

$$\frac{I_{eij}}{I_{hsj}} = \left(\frac{K_{ei}}{K_{hs}} X_{iR} \right) \frac{W_{Rj}}{W_{sj}} \quad (8)$$

نمونه شناخته شده مرجع می‌تواند به صورت آمیخته‌ای از فازهای خالص باشد، نظیر آنچه در روش رقیق سازی دوگانه [۹] و [۱۰] مورد استفاده قرار می‌گیرد، یا تنها یک فاز خالص آ باشد که در

جدول ۱ - نسبتهای وزنی نمونه ها به CaF_2 و شدت پرتوی پراش یافته در قله فازها

بر حسب کیلوکانت بر ثانیه ضربدر درجه

شماره نمونه	وزن نمونه CaF_2	شدت پرتوی پراش یافته از قله های انتخاب شده			
		MgO	CaO	$\text{Ca}(\text{OH})_2$	CaF_2
A ₁	۳/۶۷۴۱	۰/۱۶۱۳	۰/۰۷۰۴	۰/۱۵۰۸	۰/۵۶۲۴
A _۲	۵/۰۶۰۷	۰/۱۵۳۶	۰/۰۷۸۸	۰/۱۲۷۴	۰/۳۳۶۶
B _۱	۳/۴۶۸۷	۰/۲۳۱۱	۰/۰۸۷۱	۰	۰/۳۰۰۱
B _۲	۴/۹۷۴۸	۰/۲۰۹۳	۰/۱۳۱۰	۰	۰/۲۰۲۴
C _۱	۳/۰۳۱۰	۰/۲۸۹۱	۰/۰۱۴۹	۰	۰/۳۰۱۴
C _۲	۵/۳۶۱۴	۰/۴۸۶۸	۰/۰۳۶۳	۰	۰/۲۲۹۹

در ترکیبات داشته باشیم. یعنی از طریق انتخاب ماده معدنی از قسمتهای مختلف معدن، دانه بندی و جداسازی ذرات ریز و درشت، شستشوی ماده معدنی در اسیدها و محلولهای مناسب و غیره، مواد A و B و C و D و ... را طوری تهیه می‌کنیم که شامل فازهای مورد نظر با تغییر در مقدار باشد. هرچه اختلاف در مقادیر بیشتر باشد حل n معادله مجھول نتایج دقیقتری را می‌دهد.

ممولاً در یک ماده معدنی ۲ تا ۳ فاز ممکن است داشته باشیم که نمونه‌های شناخته شده مرجع برای آنها در دسترس نباشد و چنانچه مثلاً برای برخی مواد نظیر کوارتز از روش نسبت شیبها با ماده مرجع استفاده کنیم و مقدار فرضاً ۳۵٪ ($X = ۰/۳۵$) را به دست آوریم عدد سمت راست معادله (۱۳) برای مقادیر مجھول باقیمانده به جای ۱ عدد ۰/۶۵ خواهد شد. اگر در نمونه‌های B و C و D و ... n نیز مقدار فاز دارای مرجع را پیدا کردیم با کسر آن از یک، اعداد سمت راست معادلات را تغییر می‌دهیم.

۴- آزمایشات و نتایج

این روش برای اندازه گیری مقادیر فازهای MgO و CaO و $\text{Ca}(\text{OH})_2$ در یک نمونه آجرنسوز دولومیت منیزیتی هیدراته شده به کار رفت. پس از بررسی موقعیت قله های فازی (پیک ها) در تحلیل کیفی اولیه، فاز CaF_2 به عنوان عامل حذف ضریب جذب جرمی انتخاب شد. شکل (۲) محل قرارگیری قله های مختلف انتخاب شده را نشان می‌دهد. از راست به چپ تصویر O و MgO و CaO و $\text{Ca}(\text{OH})_2$ و CaF_2 که به ترتیب با علامتهای M و C و CH

فازهای به ترتیب ۱ و ۲ است و Ce_{ehs} مقدار ثابت این تلفیق است. در این حالت کسر وزنی ناشناخته X_{iA} از تقسیم یک مقدار اندازه گیری شده Me_{ehs} بر یک ثابت ناشناخته Ce_{ehs} به دست می‌آید.

$$X_{\text{iA}} = \frac{\text{M}_{\text{ehs}}}{\text{C}_{\text{ehs}}} \quad (11)$$

حال فرض کنیم ماده تحت تحلیل A شامل n فاز بلوری باشد به طوری که:

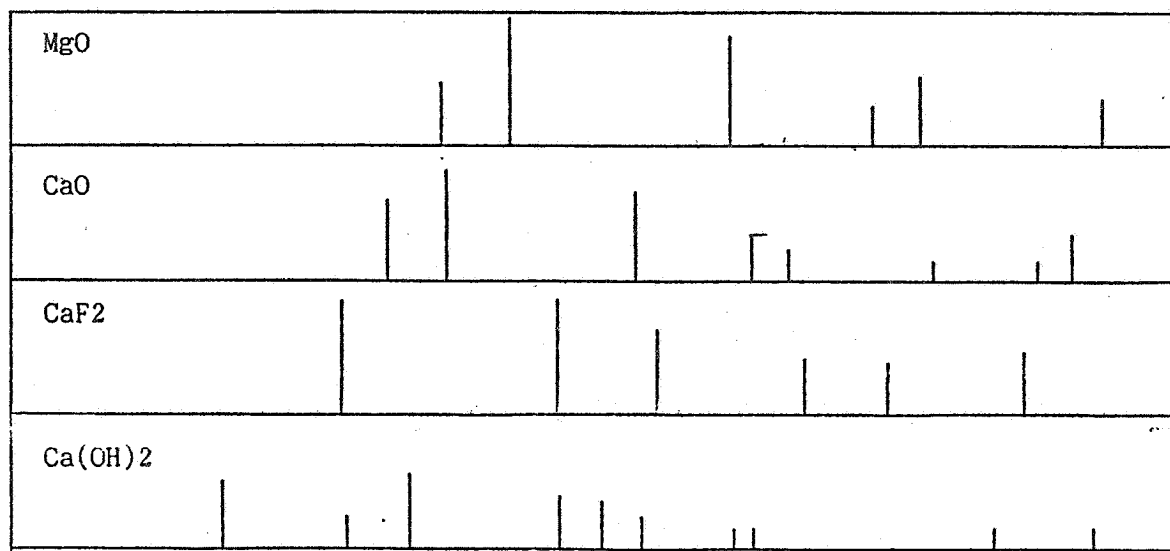
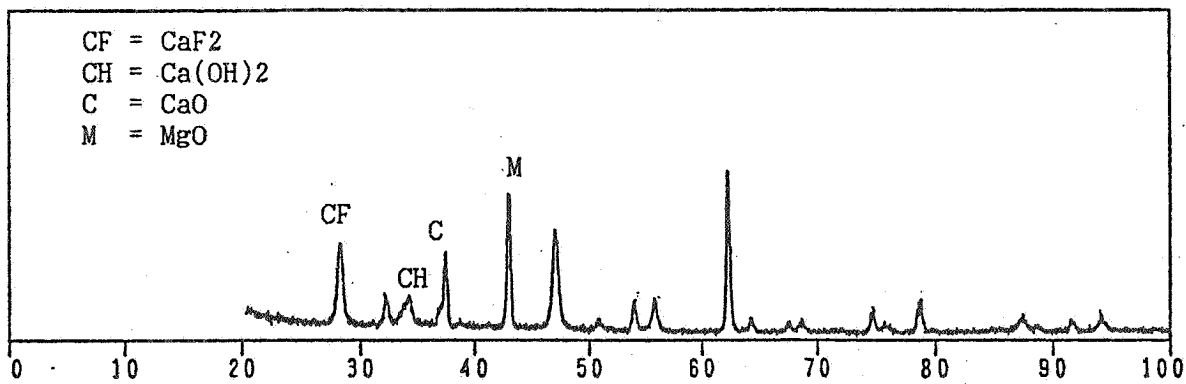
$$X_{\text{1A}} + X_{\text{2A}} + X_{\text{3A}} + \dots + X_{\text{nA}} = 1 \quad (12)$$

قله های فازی مناسبی برای هر کدام از فازها نسبت به S پیدا کرده و با روش نسبت شیبها به محاسبه شیبها M_{1A} و M_{2A} و ... و M_{nA} می‌پردازیم. برای رعایت اختصار ضریب ehs مربوط به قله های مناسب از فازهای ۱ و ۲ و ... و n موجود در نمونه A نسبت به S را با X_{1A} و X_{2A} و ... و X_{nA} نشان می‌دهیم. قله فاز S مشخص و ثابت بوده و برای هر فاز نمونه A نیز قله مشخصی را انتخاب می‌کنیم.

با تقسیم این شیبها از اندازه گیری شده بر ضرایب مجھول به ترتیب C_1 و C_2 و C_3 و ... و C_n (طبق معادله (۱۱) و گذاردن آنها به جای X_{1A} و X_{2A} و ... و X_{nA} خواهیم داشت:

$$\frac{\text{M}_{\text{1A}}}{C_1} + \frac{\text{M}_{\text{2A}}}{C_2} + \frac{\text{M}_{\text{3A}}}{C_3} + \dots + \frac{\text{M}_{\text{nA}}}{C_n} = 1 \quad (13)$$

برای دستیابی به n مجھول C_1 و C_2 و ... و C_n نمونه با تغییر



شکل ۲ - قله‌های فازی انتخاب شده برای آجر نسوز دولومیت منیزیتی هیدراته شده

پس از تهیه پودر ریز شده و یکنواخت از سه نمونه تا حدود

۲۰۰ میکرون)، هر کدام را با دو نسبت دلخواه از CaF₂ و CF آمیخته و پراش گیری با پرتوی ایکس انجام شد تا برای هر کدام از فازها در نمونه‌ها راستخطی متشكل از دو نقطه آزمایشی و مبدأ مختصات ترسیم شود. در جدول (۱) نسبت وزنی نمونه به CaF₂ و شدت پراش یافته از فازها نشان داده شده است.

با ترسیم شدت پرتوی ایکس از قله‌های انتخاب شده نسبت به قله CaF₂ (محور y) در مقابل وزن نمونه به وزن CaF₂ (محور x) برای هر قله فاز انتخاب شده در هر نمونه راستخطی به دست آمد. طبق رابطه آماری کمترین مربعات خطاب برای خطی که از مبدأ می‌گذرد، بهترین شبیب به صورت زیر حاصل می‌شود.

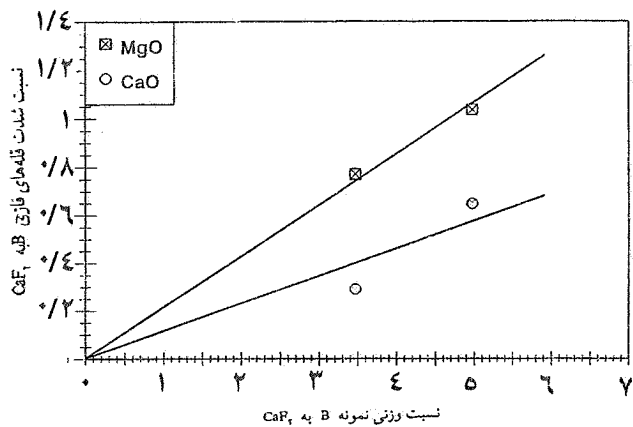
$$\frac{x_1y_1 + x_2y_2 + \dots + x_ny_n}{x_1 + x_2 + \dots + x_n} = \text{بهترین شبیب}$$

برای CF نشان داده شده است، مشاهده می‌شود. این قله‌ها از نظر موقعیت و عدم تداخل و قوی بودن پراش، مناسب بودند. در این آزمایشات لامپ پرتوی ایکس مس با پرتوی ایکس CuKα و طول موج $\lambda = 1/5405$ آنگستروم به کار رفت. شرایط دستگاهی ولتاژ ۴۰ کیلوولت و جریان ۴۰ میلی آمپر و سرعت دریافت کننده پرتو یک درجه در دقیقه و مقیاس کل دو کیلو کانت بر ثانیه به صورت ثبت کامپیوتري بود. شدت پراش در هر قله فازی پس از جداسازی زمینه به صورت حاصلضرب ارتفاع قله (کیلو کانت بر ثانیه) در پهنهای موجود در نصف ارتفاع (درجه) بیان می‌شود.

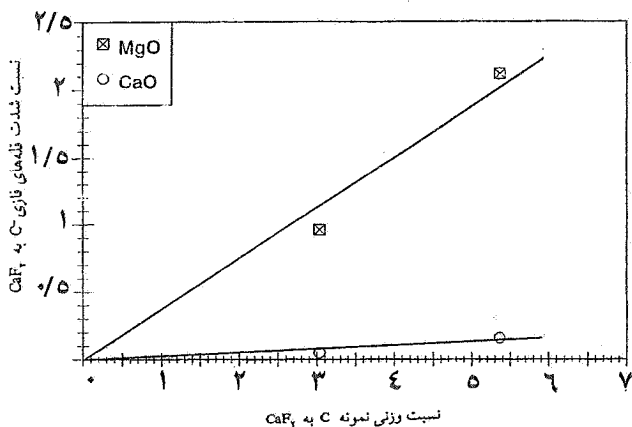
برای تحلیل کمی این نمونه (نمونه A) بدون داشتن ماده مرجع، دو نمونه ناشناخته دولومیت منیزیتی هیدراته شده (بدون Ca(OH)₂) با تغییر لازم در ترکیبات، نمونه‌های B و C، انتخاب شد.

جدول ۳- نتیجه تحلیل مواد بدون ماده مرجع برحسب درصد وزنی

شماره نمونه	%MgO	%CaO	%Ca(OH) ₂
A	۲۰/۳	۱۸/۳	۶۱/۴
B	۵۰/۱	۴۹/۹	۰
C	۸۸/۶	۱۱/۴	۰



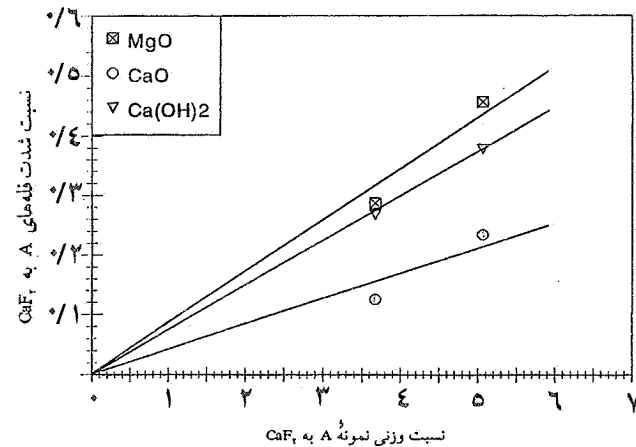
شكل ۴- نسبت شدت قلهای فازی نمونه B به CaF_۲ در مقابل
نسبت وزنی نمونه B به CaF_۲



شكل ۵- نسبت شدت قلهای فازی نمونه C به CaF_۲ در مقابل
نسبت وزنی نمونه C به CaF_۲

۵- بحث و نتیجه گیری

برای اطلاع از میزان صحت نتایج، نخست سه نمونه مورد مشاهدات میکروسکوپ الکترونی روبشی (SEM) قرار گرفت. نمونه A آثار انبساط و ترک خوردنی ذرات ناشی از افزایش حجم ایجاد شده در اثر هیدارته شدن و تشکیل هیدروکسید کلسیم از اکسید کلسیم را نشان داد در حالی که نمونه های B و C دانه های



شكل ۳- نسبت شدت قلهای فازی نمونه A به CaF_۲ در مقابل
نسبت وزنی نمونه A به CaF_۲

جدول ۲- بهترین شبیب به دست آمده از نقاط آزمایشی

شماره نمونه	$\frac{MgO}{CaF_2}$ شبیب	$\frac{CaO}{CaF_2}$ شبیب	$\frac{Ca(OH)_2}{CaF}$ شبیب
A:(A _۱ +A _۲)	۰/۰۸۶۰	۰/۰۴۲۱	۰/۷۴۲
B:(B _۱ +B _۲)	۰/۲۱۲۵	۰/۱۱۴۹	۰
C:(C _۱ +C _۲)	۰/۳۷۵۹	۰/۰۲۶۳	۰

این راستخطها برای نمونه A در شکل (۳) و برای نمونه B در شکل (۴) و برای نمونه C در شکل (۵) ترسیم شده اند. بهترین شبیها از بین نقاط آزمایشی در جدول (۲) ارائه شده است.

با تقسیم این شبیها بر ثابت های C_M و C_C و C_{CH} که به ترتیب مربوط به MgO و CaO و Ca(OH)₂ است طبق رابطه (۱۲) دترمینان زیر آمده حل خواهد شد.

$$\begin{bmatrix} \frac{1}{C_M} \\ \frac{1}{C_C} \\ \frac{1}{C_{CH}} \end{bmatrix} = \begin{bmatrix} 1 \\ 1 \\ 1 \end{bmatrix}$$

$$\begin{bmatrix} 0/0860 & 0/0421 & 0/0742 \\ 0/2125 & 0/1149 & 0 \\ 0/3759 & 0/0263 & 0 \end{bmatrix}$$

با حل این دترمینان و پیدا کردن ضرایب مربوطه نهایتاً مقادیر $2/۳۵۶۴$ و $۴/۳۴۴۲$ و $۲/۲۸۰۳$ و $۱/۰۱۰۳$ برای به ترتیب $\frac{1}{C_C}$ و $\frac{1}{C_M}$ و $\frac{1}{C_{CH}}$ حاصل شد که پس از ضرب کردن این اعداد در شبیها مربوطه مقادیر تحلیل برای فازهای هر نمونه پیدا شد که در جدول (۳) ارائه شده است.

کامپیوتر فلورسانس پرتوی ایکس و مقایسه آن با نتایج به دست آمده از محاسبات ریاضی روش جدید که به ترتیب $20/3$ و $50/1$ و $88/6$ است امیدوار کننده است. لازم به توضیح است که فاز پریکلاز با فرمول MgO از نظر محاسبات عنصری و اکسیدی با فلورسانس پرتوی ایکس و فازشناسی با پراش پرتوی ایکس قابل مقایسه است ولی مقایسه کمی دو فاز CaO و Ca(OH)_2 با نتایج فلورسانس که فقط قادر به ارائه CaO از مجموع دو فاز است امکان‌پذیر نیست.

نتیجه گیری نهایی این است که اگر ماده مرجع با خلوص معین در دسترس باشد استفاده از روش نسبت شیبها که دقت بیشتری دارد ($6/7$) توصیه می‌شود، اما چنانچه ماده مرجع در اختیار نباشد و تحلیل کمی فازها مورد نظر باشد روش جدید منحصر به فرد بوده و اگر چه به خاطر ناخالصیها و تغییر در ترکیب و تحلیل از طریق روابط ریاضی به جای مقایسه با مرجع، تا حدودی خطأ وجود دارد ولی خطأ در تحلیل چنین مواد پیچیده‌ای چندان زیاد نیست و نتایج قابل اعتماد است.

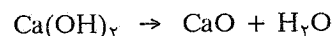
قدرتانی

از معاونت پژوهشی دانشگاه صنعتی اصفهان به خاطر تصویب طرح و تأمین بودجه پژوهش، از خانم مهندس سوده سپهری دانشجوی سابق دانشکده مهندسی مواد به خاطر همکاری مؤثر در اجرای پروژه، از گروه خاکشناسی دانشکده کشاورزی برای همکاری در آزمایشات پراش پرتوی ایکس و از آقای مهندس حمید رضا کریم زاده مسئول دستگاه و آقای مهندس رحمت الله عمامدی عضو هیئت علمی دانشکده مهندسی مواد به دلیل همکاری در تهیه نمونه‌های آزمایشی، صمیمانه تشکر و سپاسگزاری می‌شود.

مراجع

- Alexander, L. E., and Klug, H. P., "Basic Aspects of X-Ray Absorption in Quantitative Diffraction Analysis of Powder Mixtures," *Analytical Chemistry*, Vol. 20, pp. 886-889, 1948.
- Alexander, L. E., and Klug, H. P., *X-Ray Diffraction Procedures for Polycrystalline and Amorphous*

دولومیت پخته هیدراته نشده بودند. قطعاتی از هر سه نمونه را به مدت دو ساعت در دمای 1100 درجه سانتیگراد درون کوره آزمایشگاهی قرار داده و سپس اختلاف وزن آنها اندازه گیری شد. نمونه A $15/7$ درصد کاهش وزن نشان داد ولی نمونه‌های B و C کاهش محسوسی در وزن نداشتند. با در نظر گرفتن 100 گرم مبنای ماده A و طبق فرمول زیر:



موازنۀ شیمیایی برای $15/7$ گرم H_2O $64/5$ گرم Ca(OH)_2 است که نسبت به $61/4$ درصد محاسباتی موافقت خوبی داشته است. پس از حرارت دادن، نمونه‌ها مورد آزمایش فلورسانس پرتوی ایکس با دستگاه Link XR³⁰⁰ ساخت انگلستان (براساس انرژی) قرار گرفتند. پس از اندازه گیری مقدار عناصر مختلف در کنار اکسیژن و محاسبه درصد اکسیدها توسط کامپیوتر دستگاه، نتایج ارائه شده در جدول (۴) حاصل شد:

جدول ۴ - نتیجه تحلیل عناصر با فلورسانس پرتوی ایکس و

محاسبه درصد اکسیدها

شماره نمونه	%MgO	%CaO	درصد ناخالصیها به طور عمدۀ سیلیس و اکسید آهن
A	۲۷/۷	۶۸/۴	۳/۹
B	۵۰/۷	۴۵/۱	۴/۲
C	۸۴/۵	۱۰/۸	۴/۷

چنانچه اتلاف حرارتی به خاطر خروج آب هیدراته از نمونه A را مدنظر قرار دهیم:

$$\%MgO = 27/7 \times \left(\frac{100 - 15/7}{100} \right) = 23/4$$

$$\%CaO = 68/4 \times \left(\frac{100 - 15/7}{100} \right) = 57/7$$

تحلیل MgO با مقادیر $23/4$ و $57/7$ و $84/5$ و $50/7$ توسط محاسبات

- Materials*, John Wiley and Sons, 1962.
3. Cullity, B. D., *Elements of X-Ray Diffraction*, Addison Wesley, 1967.
4. Azaroff, L. V., and Buerger, M. J, *The Powder Method in X-Ray Crystallography*, Mc Graw-Hill, 1958.
5. Alexander, L. E., and Klug, H. P., "Basic Aspects of X-Ray Absorption in Quantitative Diffraction Analysis of Powder Mixtures," *Powder Diffraction*, Vol. 4, pp. 66-69, 1989.
6. Monshi, A., and Messer, P. F., "Ratio of Slopes Method for Quantitative X-Ray Diffraction Analysis," *Journal of Materials Science*, Vol. 26, pp. 3623-3627, 1991.
7. منشی، ا.، "تحلیل کمی مواد با پراش سنجی پرتوی ایکس، مقایسه روش آشنای استاندارد داخلی با روش جدید نسبت شبیهها،" مجله بلور شناسی و کانی شناسی ایران، شماره یکم، ص ۵۵-۶۲، ۱۳۷۲.
8. منشی، ا.، "مقایسه خلوص کانی ها با استفاده از روش جدید نسبت شبیهها در پراش سنجی پرتوی ایکس،" چکیده مقالات دومین سمینار بلور شناسی و کانی شناسی ایران، ص ۱۴-۱۶، ۱۳۷۲. دانشگاه علم و صنعت ایران.
9. Monshi, A., and Messer, P. F., "Double Dilution X-Ray Diffraction Method for Quantitative Phase Analysis of Multiphase Systems," *Proceedings of British Ceramic Society*, Vol. 42 (Complex Microstructures), pp. 201-212, England, 1989.
10. منشی، ا.، روش جدید رقیق سازی دوگانه برای تحلیل کمی قازها با پراش پرتوی ایکس بدون ترسیم منحنی همسنجی،" مجله بلور شناسی و کانی شناسی ایران، شماره سوم، ص ۸۷۷۹، ۱۳۷۴.